

## 完全混合型曝気槽における BOD, N除去の最適設計に関する研究

山口大工 正員 ○中西弘 京大工 正員 石川宗孝  
 宇部高専 深川勝之 原田利男 竹内正美  
 佐藤道路 井上泰弘

## 1. 緒言

完全混合型曝気槽による有機物、窒素の同時除去に関する重要な操作因子であるpH,D0を正確に制御した実験を行ない、両因子について最適条件を決定した。また、反応モデル式を提示し、物質収支式と合成することによりプロセスのシミュレーションを行ない、最適操作の手法を確立した。

## 2. 実験装置および方法

Fig.1に装置の概略を示した。原水には模擬し尿を用いた。滞留時間 2日、希釀比 4、汚泥滞留時間 40 ~ 50日MLSS約 6000mg/l、曝気槽容積 10 l、攪はん速度 300 rpm、反応温度 30 °Cで実験を行なった。pH制御はチューブポンプのon-offで1N-NaOHを滴下しD0制御は2ヶ所で連続曝気、1ヶ所でエアーポンプのon-offにより制御した。良好な制御結果が得られた。pHは 5.5~8.0、D0は0.0 ~ 3.0mg/l の範囲で変化させた。

## 3. 最適 pH,D0の決定

BOD,COD は pH,D0に関係なく 100%近い除去率が得られた。これは、本実験条件下では十分な滞留時間があったためと考えられる。Fig.2 はD0一定下でのpHとKj-N除去率の関係を、Fig.3 はpH一定下でのD0とKj-N除去率の関係を見たものである。D0の影響よりもpHの影響が顕著であり、特に低pH領域で急速に除去率は低下した。これは水素イオンの生成あるいはアルカリ度の低下により硝化反応が抑制されたためである。pH 6.5以上では低D0下でも高い除去率が得られたが、これはpH 6.5の時、D0が0 でも酸化還元電位は+200mVを示し、十分好気的雰囲気にあるためである。

Fig.4 にD0一定下でのT-N 除去率とpHの関係を示した。pHの影響はD0の低いところで大きく、高い所で小さい結果となった。脱窒反応はOH<sup>-</sup>を増大させ、OH<sup>-</sup>の増大は脱窒反応を抑制することにより最大値が生じる。酸化

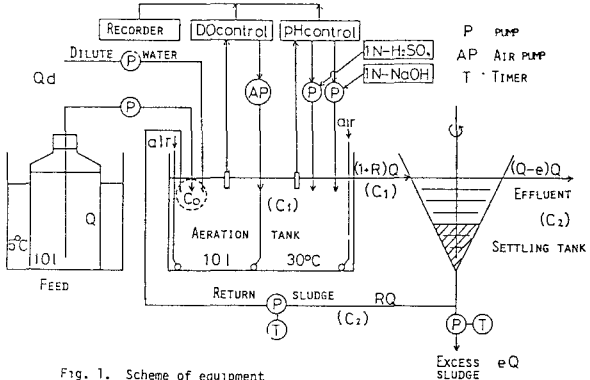


Fig. 1. Scheme of equipment

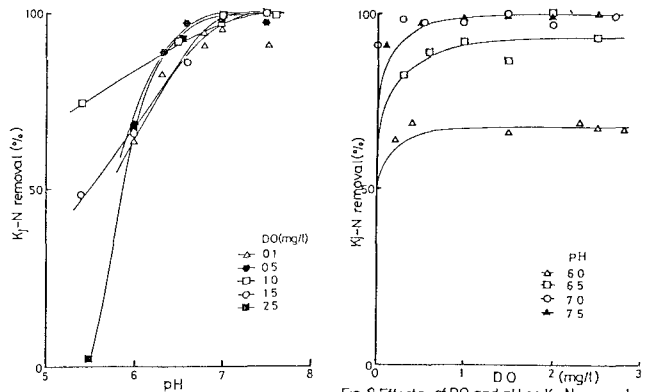
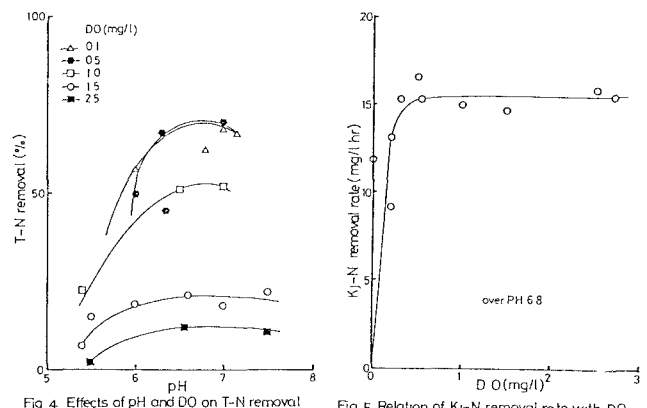


Fig. 3 Effects of pH and DO on Kj-N removal



還元電位が+150mV以上であればT-N除去率はpH 6.8~7.0, DO 0.5mg/l以下で最大値を示し、T-N除去率が70%を超えた。このとき、BOD, COD, NH<sub>4</sub>-N, Kj-Nいずれも95%以上の高い除去率を示した。高い除去率を得たpH 7付近でのT-N除去率とDOの関係では、DOの増大とともにT-N除去率が低下した。これは脱窒反応がDOにより阻害されるためである。したがってDOが低いほどT-N除去率は高くなる。

#### 4. アルカリ度、DOの飽和定数の決定

Fig.5にKj-N除去速度とDOの関係を示した。pHの影響を考慮しアルカリ度が不足しないような状態(pH 6.8以上)でプロットしたものである。DO濃度のほぼ全領域において一定で15.5 mg/l・hrであった。DO 0.0 mg/l付近においても除去速度は高い値を示した。飽和定数は、0.1 mg/lとなった。

実験は十分に硝化が進み、アルカリを滴下する状態でpHを制御した。したがってアルカリ度もまた重要な外部因子となる。

#### Kj-N除去速度とアルカリ度の関係

アルカリ度 200mg/lでほぼ一定となり、このとき飽和定数は 74 mg/lであった。同様の手法でT-N除去速度とDOおよびアルカリ度について調べた。DOに関する飽和定数はKj-N除去速度の場合と同じ値を得たが、アルカリ度のT-N除去速度に与える影響はDOのそれに比べると小さかった。

#### 5. シミュレーションによる検討

反応モデルをMonod型式で表示できることは、すでに明らかにされている。ここでは本実験で得られたアルカリ度およびDOの影響を式に導入し、実験値との整合性を検討した。反応モデルを、Table 1に提示した。この反応モデルと混合特性を示す物質収支式とを組み合わせた設計方程式により、BOD, Kj-N, T-Nの各除去率およびNO<sub>x</sub>-N生成率を計算した。結果の一部をFig.7～9に示す。実線は計算結果、○印は実験結果である。シミュレーションによるKj-N除去率はアルカリ度に大きく影響されており、200 mg/lでほぼ 100%となった。この結果は実験値ともよく一致した(Fig.7)。Kj-N除去率とDOの関係はシミュレーションによるとDOの影響ではなく、100 %近い除去率を示し、実験値ともよく一致した(Fig.8)。T-N除去率とDOの関係(Fig.9)は(4)式によるシミュレーション(No.1)では実験値とは異なる傾向を示した。このため脱窒反応に対するDOの影響を阻害因子として直接モデル式に反映させた(4)'式を用いてシミュレーションしたのがNo.2である。この結果は実験値と十分には一致したと言えないが、傾向は一致した。曲線No.1に比べ、DOの全域にわたってT-N除去率への影響をよく表わしている。これは脱窒反応が硝化反応の逐次反応であること、硝化と脱窒に及ぼすDOの影響が相反することより理解される。

#### 6. 結言

有機物、窒素同時除去のpH, DO の最適条件はpH 6.8~7.0、DO 0.1~0.5 mg/lであることがわかった。また、pHの影響をアルカリ度を用いて反応モデルに導入することにより、実験値とよい一致を得た。DOの影響は有機物酸化、硝化に対しては推進力、脱窒に対しては抵抗力(阻害剤)の形で導入することにより、よりよい結果を得た。

TABLE Kinetic Model for BOD and Nitrogen Removal

$$\begin{aligned} \text{BOD Removal} & \frac{1}{X} \frac{dS}{dt} = \frac{U_1 S}{K_s + S} - \frac{DO}{K_o + DO} - a \left( \frac{dC_1}{dt} \right)_o \quad (1) \\ \text{NH}_4 \text{ Removal} & \frac{1}{X} \frac{dG_1}{dt} = \frac{U_1 C_1}{K_1 + C_1} - \frac{DO}{K_o + DO} - \frac{A}{K_a + A} \quad (2) \\ \text{NO}_x \text{ Formation} & \frac{1}{X} \frac{dC_1}{dt} = \frac{U_1 C_1}{K_1 + C_1} - \frac{DO}{K_o + DO} \frac{A}{K_a + A} - \frac{U_2 C_2}{K_2 + C_2} \frac{S}{K_s + S} \quad (3) \\ \text{N}_2 \text{ Formation} & \frac{1}{X} \frac{dG_2}{dt} = \frac{U_2 C_2}{K_2 + C_2} \frac{S}{K_s + S} \quad (4) \\ & \frac{1}{X} \frac{dC_2}{dt} = \frac{U_2 C_2}{K_2 + C_2} \frac{S}{K_s + S} - \frac{K_o}{K_o + DO} \quad (4') \\ \text{Sludge Growth} & \frac{dX}{dt} = a \left( \frac{dS}{dt} \right)_o b \left( \frac{dC_1}{dt} \right)_o c \left( \frac{dC_2}{dt} \right)_o - dX \quad (5) \\ \text{Oxygen Consumption} & \frac{dDO}{dt} = -a' \left( \frac{dS}{dt} \right)_o - b' \left( \frac{dC_1}{dt} \right)_o - d' X + k_{o2} (DO_s - DO) \quad (6) \\ \text{Alkalinity Consumption} & \frac{dA}{dt} = e \left( \frac{dC_1}{dt} \right)_o f \left( \frac{dC_2}{dt} \right)_o \quad (7) \end{aligned}$$

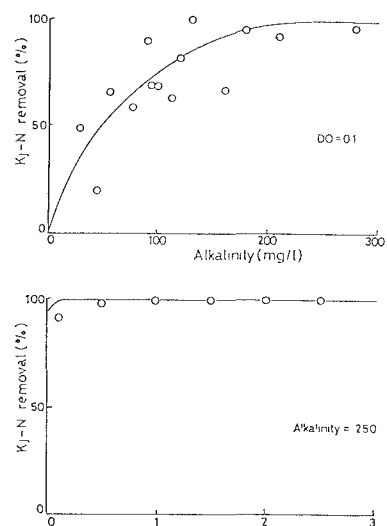


Fig.7 Effects of Alkalinity and DO on Kj-N removal

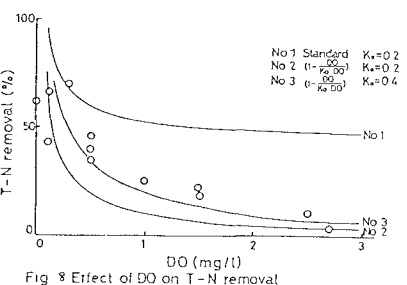


Fig.8 Effect of DO on T-N removal